

Bernard BARON

Jan ULMAN

Instytut Podstawowych Problemów
Elektrotechniki i Energoelektroniki
Politechniki Śląskiej

ZASTOSOWANIE METODY ELEMENTÓW BRZEGOWYCH DO ROZWIĄZYWANIA RÓWNAŃ CAŁKOWYCH I RODZAJU POLA LINII PRZESYŁOWYCH

Streszczenie. W pracy sprowadzono zewnętrzne zagadnienie brzegowe Dirichleta dla dwuwymiarowego równania Laplace'a do równania całkowego I rodzaju. Rozwiązanie zagadnienia poszukiwano w postaci potencjału logarytmicznego warstwy pojedynczej. Płaszczyznę ziemi uwzględniono poprzez zastosowanie metody obrazów elektrycznych. Zastosowana metoda umożliwia obliczenie pola w nieograniczonej przestrzeni poprzez rozwiązywanie równań całkowych na granicach podziału ośrodków. Przeprowadzono algebraizację równania całkowego I rodzaju z zastosowaniem funkcji sklejanego stopnia 1 dla dwuwymiarowego modelu linii przesyłowych o dowolnych konfiguracjach. Dokonano podziału konturów przewodników na elementy i dla każdego z nich wybrano odpowiednią funkcję aproksymującą gęstość powierzchniową ładunku. Wykonując następnie całkowanie po każdym z elementów i sumując otrzymane wyniki uzyskano "operację przybliżoną" do numerycznego określenia rozkładu gęstości ładunków na powierzchni przewodników oraz potencjału pola w dowolnym punkcie na zewnątrz przewodników. W celu zwiększenia dokładności obliczeń zastosowano funkcje sklejanego do aproksymacji funkcji gęstości ładunków na poszczególnych elementach podziału konturów przewodników. W pracy przeprowadzono dyskusję poprawności sformułowanego zagadnienia Dirichleta. Wykazano jednoznaczność rozwiązania postawionego problemu. Podano także metodę wyznaczania wektora natężenia pola elektrycznego. Uwzględniono tutaj zarówno obszar na zewnątrz przewodników, jak też na ich powierzchni. Określono algorytm obliczania składowych wektora natężenia pola w oparciu o wyznaczony wcześniej rozkład powierzchniowy gęstości ładunków. Przedstawiony w pracy algorytm przetestowano na przykładzie przewodnika o zadanym potencjale. Określony w ten sposób rozkład natężenia pola na powierzchni przewodnika porównano z rozwiązaniem dokładnym danym wzorem analitycznym. Opracowany algorytm zastosowano do obliczeń rozkładu pola linii 400 kV.

1. WSTĘP

Dwuwymiarowy model pola elektrycznego można stosować w przypadku rozpatrywania układów przewodów prowadzonych równolegle względem siebie oraz przy założeniu, że odległości między przewodami są dostatecznie małe w porównaniu z ich długością.

Model ten jest często stosowany przy analizie i syntezie pola elektrycznego linii przesyłowych w warstwie przy powierzchni ziemi. Między innymi posługiwano się nim w pracach [2], [3]. Badanie pola w dowolnym punkcie na zewnątrz przewodów, jak również na ich powierzchniach wymaga precyzyjniejszego aparatu matematycznego. Obecnie dużo uwagi zwraca się na rozwiązywanie pól elektrycznych quasi - statycznych metodą równań całkowych. Szerokie zastosowanie tej metody podyktowane jest wieloma zaletami, z których zasadnicza polega na możliwości obliczenia pola w nieograniczonej przestrzeni poprzez rozwiązywanie równań całkowych na granicach podziału ośrodków. W obliczeniach numerycznych wystarczy więc dyskretyzować tylko powierzchnie ciał, a nie całą przestrzeń, co znacząco ułatwia nie tylko stawianie zadań, lecz także ich rozwiązywanie.

Najczęściej metodę równań całkowych stosuje się w obliczeniach pól elektrycznych quasi - statycznych generowanych przez naładowane przewodniki. Za najbardziej naturalne z fizycznego punktu widzenia jest rozwiązywanie tego typu zadań poprzez sprowadzenie ich do równań całkowych I rodzaju [14] o jądrach logarytmicznych. Podyktowane jest to przyjęciem rozwiązań zagadnień dwuwymiarowych w postaci potencjału logarytmicznego warstwy pojedynczej. Jak wiadomo, równanie całkowe I rodzaju należy do równań źle uwarunkowanych [19]. Z tego powodu do rozwiązywania tych równań stosuje się specjalne metody regularyzacji [19], które wymagają większej pamięci EMC.

W dalszej części pracy opracowane będą ogólne algorytmy rozwiązywania zewnętrznego problemu Dirichleta dla dwuwymiarowego równania Laplace'a metodą równań całkowych I rodzaju.

2. SPROWADZENIE ZEWNĘTRZNEGO ZAGADNIENIA BRZEGOWEGO DIRICHLETA DLA DWUWYMIAROWEGO RÓWNANIA LAPLACE'A DO RÓWNANIA CAŁKOWEGO PIERWSZEGO RODZAJU

Poszukiwanie rozwiązania tego problemu będzie prowadzone w postaci potencjału logarytmicznego warstwy pojedynczej. Niech na płaszczyźnie R^2 dany jest układ D_i ($i=1, 2, \dots, N_p$) rozłącznych obszarów ograniczonych jednorodnych, których brzegi $C^{(1)P}$ są krzywymi zamkniętymi klasy C_0^1 . Poszukuje się rozwiązania $V(X)$ zewnętrznego zagadnienia Dirichleta dla dwuwymiarowego równania Laplace'a.

$$\Delta V(X) = 0 \quad \text{dla } X \in R^2 - \bigcup_{i=1}^{N_p} \bar{D}_i \quad (2.1)$$

z warunkami brzegowymi

$$V(X) = V_i \quad \text{dla } X \in C^{(1)P}, \quad i = 1, 2, \dots, N_p \quad (2.2)$$

znikającego w nieskończoności, w postaci potencjału logarytmicznego warstwy pojedynczej [14].

$$V(X) = \frac{1}{2\pi\epsilon_0} \sum_{k=1}^{N_p} \oint_C \delta^{(k)}(Y) \ln \left[\frac{1}{|XY|} \right] dl_Y = \frac{1}{2\pi\epsilon_0} \int_C \delta(Y) \ln \left[\frac{1}{|XY|} \right] dl_Y \quad (2.3)$$

gdzie:

$$C = C^{(1)} \cup C^{(2)} \cup \dots \cup C^{(N_p)}$$

Aby jednak potencjał określony wzorem (2.3) zniknął w nieskończoności potrzeba i wystarcza aby

$$\int_C \delta(X) dl_X = \sum_{k=1}^{N_p} \oint_C \delta^{(k)}(X) dl_X = 0. \quad (2.4)$$

Mając na uwadze zastosowanie dwuwymiarowego modelu pola elektrycznego do badania pola linii trójfazowych zakłada się dalej, że rozłączne obszary D_1 znajdują się w półpłaszczyźnie $X_2 > 0$ (rys. 2.1).

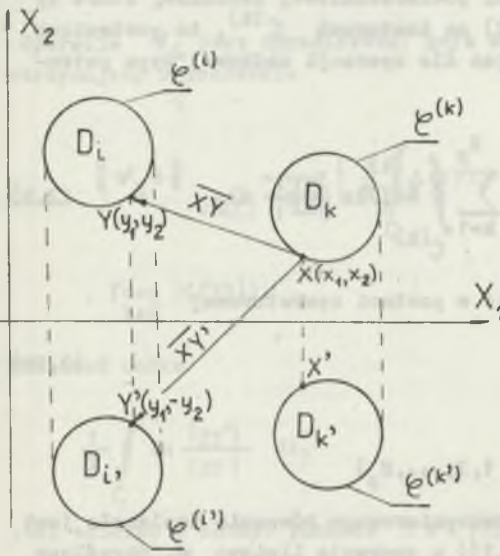
Warunki brzegowe (2.2) pozostają bez zmian, natomiast dla $X_2=0$ otrzymuje się potencjał $V(x_1, x_2)$ równy zeru

$$V(x_1, 0) = 0 \quad (2.5)$$

Rozwiązanie tak postawionego zadania Dirichleta dla dwuwymiarowego równania Laplace'a można otrzymać stosując metodę obrazów elektrycznych względem prostej $X_2=0$ [10]. Polega ona na uwzględnieniu warunku brzegowego (2.5) przez wprowadzenie układu D_i , obszarów ($i=1, 2, \dots, N_p$), będących odbiciem zwierciadlanym obszarów D_i ($i=1, 2, \dots, N_p$) względem osi X_1 , na których funkcje $\delta^{(i')}(Y')$ wynoszą

$$\delta^{(i')}(Y') = -\delta^{(i)}(Y)$$

$$Y = Y(y_1, y_2), \quad Y' = Y'(y_1, -y_2) \quad (2.6)$$



Rys. 2.1

Odbicie zwierciadlane obszarów D_i w osi X_1
The mirror reflection of the D_i region in the X_1 axis

W takim przypadku rozwiązanie zewnętrznego zagadnienia Dirichleta można poszukiwać w postaci

$$v(x) = \frac{1}{2\pi\epsilon_0} \int_C \phi(Y) \ln \frac{|XY'|}{|XY|} dl_Y = \frac{1}{2\pi\epsilon_0} \sum_{k=1}^{N_p} \int_{C^{(k)}} \phi^{(k)}(y_1, y_2) \ln \frac{\sqrt{(y_1-x_1)^2 + (y_2+x_2)^2}}{\sqrt{(y_1-x_1)^2 + (y_2-x_2)^2}} dl_Y \quad (2.7)$$

W rozpatrywanym przypadku należy tak określić funkcję $\phi(Y)$ na brzegu C , aby potencjał $V(X)$ spełniał warunki brzegowe (2.2) i (2.5), a na to potrzeba by spełniony był następujący układ równań całkowych I rodzaju

$$\frac{1}{\pi} \sum_{k=1}^{N_p} \int_{C^{(k)}} \phi^{(k)}(y_1, y_2) \ln \frac{\sqrt{(y_1-x_1)^2 + (y_2+x_2)^2}}{\sqrt{(y_1-x_1)^2 + (y_2-x_2)^2}} dl_Y = 2\epsilon_0 V_l, \quad X(x_1, x_2) \in C^{(l)} \quad (2.8)$$

$l = 1, 2, \dots, N_p$

Jeżeli znamy prawo rozkładu gęstości powierzchniowej ładunków, które by zapewniało spełnienie warunków (2.2) na konturach $C^{(k)}$, to postawione zadanie byłoby rozwiązane. Przyjmując dla operacji całkowej typu potencjału logarytmicznego oznaczenie

$$\mathcal{V}_L \phi = \frac{1}{\pi} \int_C \phi(Y) \ln \frac{|XY'|}{|XY|} dl_Y = \frac{1}{\pi} \sum_{k=1}^{N_p} \int_{C^{(k)}} \phi^{(k)}(Y) \ln \frac{|XY'|}{|XY|} dl_Y \quad (2.9)$$

można układ równań (2.8) przedstawić w postaci operatorowej

$$\mathcal{V}_L^o \phi = W \quad (2.10)$$

gdzie:

$$W = 2\epsilon_0 V_l \quad \text{dla} \quad X \in C^{(l)} \quad (l = 1, 2, \dots, N_p)$$

Problem zewnętrzny Dirichleta dla dwuwymiarowego równania Laplace'a jest równoważny rozwiązaniu równania (2.10) z operacją liniową \mathcal{V}_L^o określoną wzorem (2.9).

2.1. POPRAWNOŚĆ SFORMUŁOWANEGO ZAGADNIENIA

Mając na uwadze, że rozpatrywane pole elektryczne quasi- statyczne jest sinusoidalnie zmienne, należy dziedzinę i przeciwdziedzinę operatora \mathcal{V}_L rozpatrywać w przestrzeniach zespolonych funkcji punktu na konturze C , np. w przestrzeni funkcji całkowalnych z modułem $L_1^*(C)$ lub z kwadratem modułu $L_2^*(C)$. Jądro operatora całkowego \mathcal{V}_L (2.9) ma słabą osobliwość w przypadku, gdy punkty X i Y pokrywają się. Jeżeli jako dziedzinę operatora \mathcal{V}_L przyjąć przestrzeń $L_1^*(C)$; ($G \in L_1^*(C)$), to jak wiadomo z teorii potencjału logarytmicznego [13] operator ten przyjmuje wartości z przestrzeni funkcji ciągłych $C^*(C)$ na konturach $C = C^{(1)} \cup C^{(2)} \cup \dots \cup C^{(N_p)}$. Przestrzenie $L_1^*(C)$ i $C^*(C)$ są przestrzeniami Banacha o normach

$$\|G\|_{L_1^*(C)} = \int_C |G(Y)| dY = \sum_{i=1}^{N_p} \oint_C^{(i)} |G^{(i)}(Y)| dY \quad (2.11)$$

$$\|V\|_{C^*(C)} = \max_{X \in C} |V(X)| = \max_i \max_{X \in C^{(i)}} |V_1(X)|. \quad (2.12)$$

Operacja \mathcal{V}_L jest ograniczona, gdyż uwzględniając wzory (2.12) i (2.9) otrzymujemy oszacowanie

$$\|\mathcal{V}_L G\|_{C^*(C)} = \max_{X \in C} \left| \frac{1}{\pi} \int_C G(Y) \ln \frac{|XY'|}{|XY|} dY \right| \leq \left(\max_{X \in C} \frac{1}{\pi} \int_C \ln \frac{|XY'|}{|XY|} dY \right) \cdot \left(\max_{Y \in C} |G(Y)| \right). \quad (2.13)$$

Ponieważ całka

$$\frac{1}{\pi} \int_C \ln \frac{|XY'|}{|XY|} dY$$

jest zbieżna w każdym punkcie $X \in C$ [13], więc otrzymujemy

$$\|\mathcal{V}_L G\|_{C^*(C)} \leq \|\mathcal{V}_L\|_{C(C) \rightarrow C(C)} \|G\|_{C^*(C)} \quad (2.14)$$

gdzie norma operacji \mathcal{V}_L [12] wyraża się wzorem

$$\|\mathcal{V}_L\|_{C^*(C) \rightarrow C^*(C)} = \sup \left\{ \|\mathcal{V}_L \phi\|_{C^*(C)} : \|\phi\|_{C^*(C)} = 1 \right\} = \max_{X \in C} \left[\frac{1}{\pi} \int_C \ln \frac{|XY'|}{|XY|} dI_Y \right]. \quad (2.15)$$

Tak więc operacja \mathcal{V}_L jest operacją ograniczoną z $C^*(C)$ w $C^*(C)$, a jako taka jest ciągła [1].

Operacja \mathcal{V}_L jest również ograniczona z $L_1^*(C)$ w $L_1^*(C)$, gdyż

$$\|\mathcal{V}_L \phi\|_{L_1^*(C)} = \int_C \left| \frac{1}{\pi} \int_C \phi(Y) \ln \frac{|XY'|}{|XY|} dI_Y \right| dI_X \leq \left(\max_{Y \in C} \frac{1}{\pi} \int_C \ln \frac{|XY'|}{|XY|} dI_X \right) \cdot \left(\int_C |\phi(Y)| dI_Y \right). \quad (2.16)$$

Ponieważ całka

$$\frac{1}{\pi} \int_C \ln \frac{|XY'|}{|XY|} dI_X$$

jest zbieżna w każdym punkcie $Y \in C$ [13], więc uwzględniając wzór (2.16) otrzymuje się

$$\|\mathcal{V}_L \phi\|_{L_1^*(C)} \leq \|\mathcal{V}_L\|_{L_1^*(C) \rightarrow L_1^*(C)} \|\phi\|_{L_1^*(C)} \quad (2.17)$$

gdzie

$$\|\mathcal{V}_L\|_{L_1^*(C) \rightarrow L_1^*(C)} = \sup \left\{ \|\mathcal{V}_L \phi\|_{L_1^*(C)} : \|\phi\|_{L_1^*(C)} = 1 \right\} = \max_{Y \in C} \left[\frac{1}{\pi} \int_C \ln \frac{|XY'|}{|XY|} dI_X \right] \quad (2.18)$$

Teoria równania operatorowego (2.10) jak również metody przybliżonego rozwiązania tego równania podana jest najogólniej w przestrzeni L_2 . W celu zbadania operacji \mathcal{V}_L^0 wziętej jako operacja z $L_2^*(C)$ w $L_2^*(C)$ można skorzystać z twierdzenia Risza o interpolacji [12]. Stwierdza ono, że jeżeli liniowa operacja \mathcal{V}_L jest równocześnie operacją ograniczoną z $C^*(C)$ w $C^*(C)$ oraz z $L_1^*(C)$ w $L_1^*(C)$, to jest również operacją ograniczoną z $L_2^*(C)$ w $L_2^*(C)$ oraz

$$\|\mathcal{V}_L\|_{L_2^*(C) \rightarrow L_2^*(C)} \leq (\|\mathcal{V}_L\|_{C^*(C) \rightarrow C^*(C)})^{\frac{1}{2}} (\|\mathcal{V}_L\|_{L_1^*(C) \rightarrow L_1^*(C)})^{\frac{1}{2}} \quad (2.19)$$

Ponieważ jądro operacji \mathcal{V}_L jest rzeczywiste i symetryczne, tj. (rys. 2.1)

$$\ln \frac{|XY'|}{|XY|} = \ln \frac{|YX'|}{|YX|} \quad (2.20)$$

więc uwzględniając wzory (2.15), (2.18) i (2.20) w nierówności (2.19) otrzymuje się

$$\begin{aligned} \|\mathcal{V}_L\|_{L_2^*(C) \rightarrow L_2^*(C)} &\leq \max_{X \in C} \int_C \ln \frac{|XY'|}{|XY|} dY = \|\mathcal{V}_L\|_{L_1^*(C) \rightarrow L_1^*(C)} = \\ &= \|\mathcal{V}_L\|_{C^*(C) \rightarrow C^*(C)} \end{aligned} \quad (2.21)$$

Operacja \mathcal{V}_L zdefiniowana wzorem (2.9) spełnia warunek [13]

$$\mathcal{V}_L \phi = 0 \iff \phi = 0 \quad (2.22)$$

Warunek (2.22) jest warunkiem koniecznym i wystarczającym na to, aby operacja liniowa \mathcal{V}_L była odwracalna [1]. Z warunku (2.22) wynika jednoznaczność rozwiązania równania (2.10).

2.2. APROKSYMACJA OPERATORA TYPU POTENCJAŁU LOGARYTMICZNEGO WARSTWY POJEDYNCZEJ

W praktycznych realizacjach zamiast równania (2.10) rozwiązuje się równanie

$$\mathcal{V}_{LP} \phi = W$$

gdzie \mathcal{V}_{LP} jest operacją "bliską" operacji \mathcal{V}_L (w sensie normy w $L_2^*(C)$) i w metodach numerycznych powstaje w wyniku dyskretyzacji operacji całkowej \mathcal{V}_L .

Najogólniej rzecz biorąc wyraża się ona w postaci

$$\mathcal{V}_{LP} \phi = \frac{1}{N} \sum_{k=1}^{N_p} \sum_{i=1}^N C_i^{(k)}(X) \phi(Y_i^{(k)}) \quad (2.24)$$

gdzie tzw. funkcje kształtu $C_i^{(k)}(X)$ dla danego jądra operacji \mathcal{V}_L zależą od wyboru formuły przybliżonego całkowania, a więc od wyboru funkcji aproksymującej funkcję $\phi^{(k)}(X)$ na $C^{(k)}$, jak również od sposobu aproksymacji dowolnych konturów $C^{(k)}$.

W konstrukcji operatora "bliskiego" należy przede wszystkim dokonać podziału konturów $C^{(k)}$ na elementy $C_i^{(k)}$ i dla każdego z nich wybrać odpowiednią funkcję aproksymującą $\phi_i^{(k)}(X)$. Wykonując następnie całkowanie po każdym z elementów $C_i^{(k)}$ i sumując otrzymane wyniki otrzymujemy operację przybliżoną w postaci (2.24). Zwiększenie dokładności obliczeń funkcji kształtu $C_i^{(k)}(X)$ może być osiągnięte przez zastosowanie tzw. funkcji sklejenych do aproksymacji funkcji gęstości ładunków $\phi_i^{(k)}(X)$ na elementach $C_i^{(k)}$ podziału konturów $C^{(k)}$ [6].

2.2.1. Aproksymacja potencjału logarytmicznego warstwy pojedynczej zadane-go na dowolnych okręgach

Niech zadane są promienie r_k oraz ich środki o współrzędnych $y_1^{(k)}$, $y_2^{(k)}$ ($k=1, 2, \dots, N_p$), wówczas zbiór punktów należących do łuku $C_i^{(k)}$ łączącego punkty $Y_1^{(k)}$, $Y_{i+1}^{(k)} \in C^{(k)}$ zgodnie z oznaczeniami przyjętymi na rys.

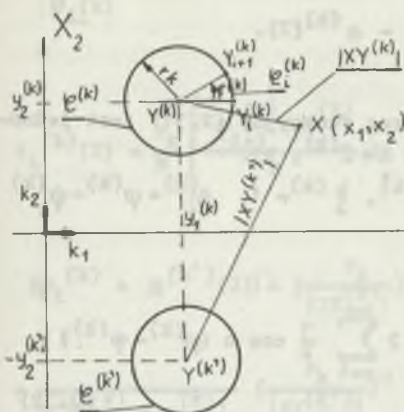
2.2. wyraża się wzorem

$$C_i^{(k)} = \left\{ (y_1, y_2): y_1 = y_1^{(k)} + r_k \cos \varphi^{(k)}; y_2 = y_2^{(k)} + r_k \sin \varphi^{(k)}; \right. \\ \left. \varphi_1^{(k)} \leq \varphi^{(k)} \leq \varphi_{i+1}^{(k)} \right\} \quad (2.25)$$

Funkcje gęstości ładunków będzie się aproksymować funkcją sklejaną stopnia pierwszego interpolującą dane wartości $\phi_i^{(k)}$ w punktach podziału $Y_i^{(k)}$ okręgu $C^{(k)}$, tj. w postaci

$$G_i^{(k)}(y_1, y_2) = \begin{cases} \frac{G_{i+1}^{(k)} \varphi_{i+1}^{(k)} - G_{i+1}^{(k)} \varphi_i^{(k)}}{\varphi_{i+1}^{(k)} - \varphi_i^{(k)}} + \frac{G_{i+1}^{(k)} - G_i^{(k)}}{\varphi_{i+1}^{(k)} - \varphi_i^{(k)}} \varphi & \text{dla } (y_1, y_2) \in C_i^{(k)} \\ 0 & \text{dla } (y_1, y_2) \notin C_i^{(k)} \end{cases} \quad (2.26)$$

Zgodnie z przyjętymi oznaczeniami otrzymuje się:



$$\ln \frac{|XY'|}{|XY|} \Big|_{Y \in C_i^{(k)}} = \ln \frac{|XY^{(k)}|}{|XY^{(k')}|} + \frac{1}{2} \ln \left| 1 - 2 \frac{r_k}{|XY^{(k')}|} \cos \left[\varphi^{(k)} + \alpha^{(k')}(X) \right] + \left(\frac{r_k}{|XY^{(k')}|} \right)^2 \right| - \frac{1}{2} \ln \left| 1 - 2 \frac{r_k}{|XY^{(k)}|} \cos \left[\varphi^{(k)} - \alpha^{(k)}(X) \right] + \left(\frac{r_k}{|XY^{(k)}|} \right)^2 \right| \quad (2.27)$$

Rys. 2

Kontur $C^{(k)}$ wraz z odbiciem zwierciadlanym

Contour $C^{(k)}$ with its mirror reflection

gdzie

$$|XY^{(k)}| = \sqrt{(x_1 - y_1^{(k)})^2 + (x_2 - y_2^{(k)})^2}; \quad |XY^{(k')}| = \sqrt{(x_1 - x_1^{(k)})^2 + (x_2 + y_2^{(k)})^2} \quad (2.28)$$

$$\cos \alpha^{(k)}(X) = \frac{x_1 - y_1^{(k)}}{|XY^{(k)}|}; \quad \sin \alpha^{(k)}(X) = \frac{x_2 - x_2^{(k)}}{|XY^{(k)}|} \quad (2.29)$$

$$\cos \alpha^{(k')}(X) = \frac{x_1 - y_1^{(k)}}{|XY^{(k')}|}; \quad \sin \alpha^{(k')}(X) = \frac{x_2 + y_2^{(k)}}{|XY^{(k')}|} \quad (2.30)$$

Funkcje logarytmiczne [8] występujące we wzorze (2.27) są rozwijalne w następujący szereg funkcyjny

$$\ln |1 - 2\xi^{(k)} \cos \beta^{(k)} + (\xi^{(k)})^2| = -2 \sum_{n=1}^{\infty} \frac{1}{n} (\xi^{(k)})^n \cos n \beta^{(k)} \quad (2.31)$$

gdzie

$$\xi^{(k)}(X) = \frac{r_k}{|XY^{(k)}|}, \quad \beta^{(k)}(X) = \varphi^{(k)} - \alpha^{(k)}(X).$$

Jeżeli $X \notin C^{(k)}$, to $0 \leq \xi^{(k)} < 1$ a więc szereg funkcyjny (2.31) jest jednostajnie zbieżny ze względu na $\beta^{(k)}$. Jeżeli $X \in C^{(k)}$, tj.

$$x_1 = y_1^{(k)} + r_k \cos \psi^{(k)}, \quad x_2 = y_2^{(k)} + r_k \sin \psi^{(k)}, \quad \xi^{(k)} = 1, \quad \beta^{(k)} = \varphi^{(k)} - \psi^{(k)}$$

i wtedy równanie (2.31) przyjmuje postać

$$\ln 2 |1 - \cos \beta^{(k)}| = 2 \ln \left(2 \sin \frac{\varphi^{(k)} - \psi^{(k)}}{2} \right) = -2 \sum_{n=1}^{\infty} \frac{1}{n} \cos n (\varphi^{(k)} - \psi^{(k)}) \quad (2.32)$$

przy czym szereg (2.32) jest zbieżny poza punktami $\varphi^{(k)} = \psi^{(k)}$ oraz $\varphi^{(k)} = \psi^{(k)} + 2\pi$ ($\psi^{(k)} < \varphi^{(k)} < 2\pi + \psi^{(k)}$).

Zgodnie z wzorami (2.27) i (2.31) słabo osobliwe jądro operacji (2.9) można dla $Y \in C^{(k)}$ przedstawić w postaci następującego szeregu ze względu na zmienną $\varphi^{(k)}$

$$\ln \frac{|ZY'|}{|XY|} \Big|_{Y \in C^{(k)}} = \ln \frac{|XY^{(k')}|}{|XY^{(k)}|} + \sum_{n=1}^{\infty} \frac{1}{n} \left(\frac{r_k}{|XY^{(k)}|} \right)^n \cos n [\varphi^{(k)} - \alpha^{(k)}(X)] + \\ - \sum_{n=1}^{\infty} \frac{1}{n} \left(\frac{r_k}{|ZY^{(k')}|} \right)^n \cos n [\varphi^{(k)} + \alpha^{(k')}(X)]. \quad (2.33)$$

Wzajemniejąc wzory (2.33) oraz (2.26) we wzorze (2.9) otrzymuje się

$$\int_L G = \frac{1}{\pi} \sum_{k=1}^{N_p} \sum_{i=1}^{N_k} \int_{\varphi_i^{(k)}}^{\varphi_{i+1}^{(k)}} G_i^{(k)}(Y) \ln \frac{|XY'|}{|XY|} dY \quad (2.34)$$

gdzie:

$$\frac{1}{\pi} \int_{\varphi_i^{(k)}}^{\varphi_{i+1}^{(k)}} G_i^{(k)}(Y) \ln \frac{|XY'|}{|XY|} dY = a_i^{(k)}(X) G_i^{(k)} + b_{i+1}^{(k)}(X) G_{i+1}^{(k)} \quad (2.35)$$

$$a_i^{(k)}(X) = \frac{r_k}{\pi} \left\{ \frac{\varphi_{i+1}^{(k)} - \varphi_i^{(k)}}{2} \ln \frac{|XY^{(k')}|}{|XY^{(k)}|} + \sum_{n=1}^{\infty} \frac{1}{n^2} \left[\left(\frac{r_k}{|XY^{(k')}|} \right)^n \sin n (\varphi_{i+1}^{(k)} + \alpha^{(k')}(X)) - \left(\frac{r_k}{|XY^{(k)}|} \right)^n \sin n (\varphi_i^{(k)} - \alpha^{(k)}(X)) \right] + \sum_{n=1}^{\infty} \frac{1}{n^3 (\varphi_{i+1}^{(k)} - \varphi_i^{(k)})} \left(\frac{r_k}{|XY^{(k')}|} \right)^n \left[\cos n (\varphi_{i+1}^{(k)} + \alpha^{(k')}(X)) - \cos n (\varphi_i^{(k)} + \alpha^{(k')}(X)) \right] - \sum_{n=1}^{\infty} \frac{1}{n^3 (\varphi_{i+1}^{(k)} - \varphi_i^{(k)})} \left(\frac{r_k}{|XY^{(k)}|} \right)^n \left[\cos n (\varphi_{i+1}^{(k)} - \alpha^{(k)}(X)) - \cos n (\varphi_i^{(k)} - \alpha^{(k)}(X)) \right] \right\} \quad (2.36)$$

$$b_{i+1}^{(k)}(X) = \frac{r_k}{\pi} \left\{ \frac{\varphi_{i+1}^{(k)} - \varphi_i^{(k)}}{2} \ln \frac{|XY^{(k')}|}{|XY^{(k)}|} + \sum_{n=1}^{\infty} \frac{1}{n^2} \left[\left(\frac{r_k}{|XY^{(k')}|} \right)^n \sin n (\varphi_{i+1}^{(k)} - \right. \right.$$

$$\begin{aligned}
 & - \alpha^{(k)}(X) - \left(\frac{r_k}{|XY^{(k')}|} \right)^n \sin n(\varphi_{i+1}^{(k)} + \alpha^{(k')}(X)) \Big] + \sum_{n=1}^{\infty} \frac{1}{n^3(\varphi_{i+1}^{(k)} - \varphi_i^{(k)})} \left(\frac{r_k}{|XY^{(k')}|} \right)^n \\
 & \cdot \left[\cos n(\varphi_{i+1}^{(k)} - \alpha^{(k)}(X)) - \cos n(\varphi_i^{(k)} - \alpha^{(k)}(X)) \right] - \sum_{n=1}^{\infty} \frac{1}{n^3(\varphi_{i+1}^{(k)} - \varphi_i^{(k)})} \\
 & \left(\frac{r_k}{|XY^{(k')}|} \right)^n \cdot \left[\cos n(\varphi_{i+1}^{(k)} + \alpha^{(k')}(X)) - \cos n(\varphi_i^{(k)} + \alpha^{(k')}(X)) \right] \Big\} \cdot (2.37)
 \end{aligned}$$

Podstawiając (2.35) do wzoru (2.34) oraz porządkując sumę po "i" ze względu na zmienne węzłowe $\zeta_i^{(k)}$ otrzymuje się ostateczny wzór na operację przybliżoną dla operacji \mathcal{V}_L w postaci

$$\mathcal{V}_{L,P} \zeta = \sum_{k=1}^{N_p} \sum_{i=1}^{N_k} c_i^{(k)}(X) \zeta_i^{(k)} \quad (2.38)$$

gdzie:

$$\begin{aligned}
 c_i^{(k)}(X) = \frac{r_k}{X} & \left\{ \frac{\varphi_{i+1}^{(k)} - \varphi_{i-1}^{(k)}}{2} \ln \frac{|XY^{(k')}|}{|XY^{(k)}|} + \sum_{n=1}^{\infty} \frac{1}{n^3} \left(\frac{r_k}{|XY^{(k')}|} \right)^n \cdot \right. \\
 & \left[\frac{\cos n(\varphi_i^{(k)} - \alpha^{(k)}(X)) - \cos n(\varphi_{i-1}^{(k)} - \alpha^{(k)}(X))}{\varphi_i^{(k)} - \varphi_{i-1}^{(k)}} - \right. \\
 & \left. \left. - \frac{\cos n(\varphi_{i+1}^{(k)} - \alpha^{(k)}(X)) - \cos n(\varphi_i^{(k)} - \alpha^{(k)}(X))}{\varphi_{i+1}^{(k)} - \varphi_i^{(k)}} \right] + \right. \\
 & \left. + \sum_{n=1}^{\infty} \frac{1}{n^3} \left(\frac{r_k}{|XY^{(k')}|} \right)^n \left[- \frac{\cos n(\varphi_i^{(k)} + \alpha^{(k')}(X)) - \cos n(\varphi_{i-1}^{(k)} + \alpha^{(k')}(X))}{\varphi_i^{(k)} - \varphi_{i-1}^{(k)}} + \right. \right.
 \end{aligned}$$

$$\left. \begin{aligned} & + \frac{\cos n(\varphi_{i+1}^{(k)} + \alpha^{(k)}(X)) - \cos n(\varphi_i^{(k)} + \alpha^{(k')}(X))}{\varphi_{i+1}^{(k)} - \varphi_i^{(k)}} \end{aligned} \right\} \quad (2.39)$$

Łatwo zauważyć, że tzw. funkcje kształtu $C_i^{(k)}(X)$ są dane przez jednostajnie zbieżne szeregi funkcyjne (2.39) niezależnie od położenia punktu X . W ten sposób otrzymano ogólną procedurę obliczenia potencjału logarytmicznego V_{LP} ϕ zadanego na rozłącznych okręgach $C^{(k)}$, w której wystarczy podać współrzędne $Y^{(k)}$ środków okręgów oraz ich kąty podziału $\varphi_i^{(k)}$ wraz z odpowiadającymi im zmiennymi węzłowymi aby, zgodnie z wzorami (2.38) i (2.39), otrzymać potencjał logarytmiczny warstwy pojedynczej w dowolnym punkcie półprzestrzeni $X_2 \geq 0$.

3. OBLICZENIE ROZKŁADU WEKTORA NATĘŻENIA POLA ELEKTRYCZNEGO W UJĘCIU DWUWYMIAROWYM

Przybliżone rozwiązanie $V(X)$ w dowolnym punkcie na zewnątrz przewodników (wzór 2,38) przedstawi się w postaci

$$V(X) = \frac{1}{2\epsilon_0} \sum_{k=1}^{N_p} \sum_{i=1}^{N_k} C_i^{(k)}(X) \phi_i^{(k)}. \quad (3.1)$$

Niezależnie od sposobu przybliżonego rozwiązania potencjału $V(X)$ natężenie pola elektrycznego w obszarze zewnętrznym przewodników określa się wzorem:

$$\vec{E}(X) = - \text{grad } V = - \frac{1}{2\epsilon_0} \sum_{k=1}^{N_p} \sum_{i=1}^{N_k} \phi_i^{(k)} \text{grad}_X C_i^{(k)}(X). \quad (3.2)$$

Jeżeli potencjały poszczególnych przewodników są zadane w postaci zespolonej, co odpowiada rzeczywistym przebiegom sinusoidalnie zmiennym o tych samych pulsacjach lecz różnych fazach początkowych, to również gęstości węzłowe $\phi_i^{(k)}$ będące rozwiązaniem układu równań (2.8) są zespolone, a zgodnie z wzorem (3.2) składowe E_{x_1} i E_{x_2} wektora $\vec{E}(X)$ są również zespolone

$$\vec{E}(X) = \bar{k}_1 E_{x_1}(X) + \bar{k}_2 E_{x_2}(X). \quad (3.3)$$

Jak pokazano w pracy [2] w takim przypadku, ogólnie rzecz biorąc, w dziedzinie czasowej wektor $\vec{E}(X, t) = \vec{k}_1 E_{x_1}(X, t) + \vec{k}_2 E_{x_2}(X, t)$ zskreśla w ciągu okresu T elipsę. Składowe wektora natężenia pola elektrycznego w kierunku półosi dużej i małej tej elipsy wynoszą odpowiednio

$$E_a(X) = \frac{1}{\sqrt{2}} \max_{t \in (0, T)} |\vec{E}(X, t)| = |E_1(X)| + |E_2(X)| \quad (3.4)$$

$$E_b(X) = \frac{1}{\sqrt{2}} \min_{t \in (0, T)} |\vec{E}(X, t)| = ||E_1(X)| - |E_2(X)|| \quad (3.5)$$

gdzie:

$$E_1(X) = |E_1(X)| e^{j\alpha_1(X)} = \frac{1}{2} [E_{x_1}(X) + jE_{x_2}(X)]$$

$$E_2(X) = |E_2(X)| e^{j\alpha_2(X)} = \frac{1}{2} [E_{x_1}^*(X) + jE_{x_2}^*(X)].$$

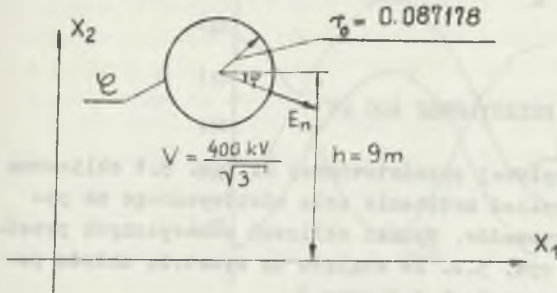
Jeśli we wzorze (3.2) dokonąć przejścia granicznego zmierzając z punktem X do powierzchni dowolnego przewodnika $C^{(k)}$, to otrzymuje się składową normalną wektora natężenia pola w danym punkcie Y_1^k jego konturu. Jeżeli prototypem rozwiązania zewnętrznego problemu Dirichleta jest potencjał logarytmiczny warstwy pojedynczej (2.7), to przejście graniczne jest równoważne znajomości gęstości powierzchniowej ładunków

$$G_1^{(k)} = \epsilon_0 E_n(Y_1^{(k)})$$

4. PRZYKŁAD TESTUJĄCY

Przedstawiony w pracy algorytm wykorzystano do znalezienia rozkładu natężenia pola elektrycznego na powierzchni przewodnika (rys. 4.1) o potencjale $V = \frac{400 \text{ kV}}{\sqrt{3}}$.

Obliczenie zrealizowano dla podziału konturu przewodnika na $N_k = 8$, 16 oraz 32 łuki. Wartości obliczonych w ten sposób składowych E_n na powierzchni przewodnika porównano (tabela 1) z rozwiązaniem dokładnym danym wzorem analitycznym (4.1).



$$E_n = \frac{G(\varphi)}{\epsilon_0} =$$

$$= \frac{V \sqrt{\frac{h^2}{r_0^2} - 1}}{\text{Arsh} \sqrt{\frac{h^2}{r_0^2} - 1}}$$

$$\frac{1}{h + r_0 \sin \varphi} \quad (4.1)$$

Rys. 4.1

Przewodnik umieszczony nad powierzchnią ziemi
The conductor above the earth surface

gdzie:

$$\text{Arshy} = \ln \left| y + \sqrt{y^2 + 1} \right|$$

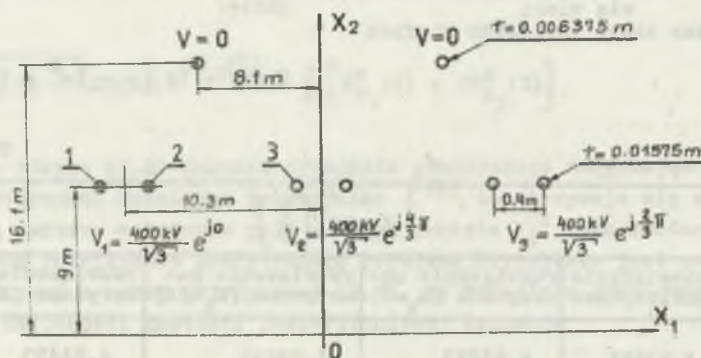
Tabela 1

φ	$E_n \times 10^5 \left[\frac{V}{m} \right]$			
	rozwiązanie analityczne	rozwiązanie numeryczne ($N_k=8$)	rozwiązanie numeryczne ($N_k=16$)	rozwiązanie numeryczne ($N_k=32$)
$\frac{\pi}{4}$	4,93591	4,85213	4,84846	4,84493
$\frac{\pi}{2}$	4,92204	4,84066	4,83771	4,83456
$\frac{3}{4}\pi$	4,93591	4,85213	4,84846	4,84493
π	4,96972	4,88078	4,87507	4,87052
$\frac{5}{4}\pi$	5,00399	4,91063	4,90245	4,89677
$\frac{3}{2}\pi$	5,01833	4,92340	4,91406	4,90787
$\frac{7}{4}\pi$	5,00399	4,91063	4,90245	4,89677
0	4,96972	4,88078	4,87507	4,87052

Błąd rozwiązania numerycznego nie przekracza 2 %, a współczynniki uwarunkowania macierzy układu równań aproksymującego układu równań (2.8) wynoszą dla podziału konturu C na $N_k = 8, 16$ oraz 32 łuki odpowiednio: 127, 518 oraz 1679.

5. PRZYKŁAD TRÓJFAZOWEJ LINII PRZESYŁOWEJ 400 kV

Dla trójfazowej linii przesyłowej przedstawionej na rys. 5.1 obliczono w oparciu o podany algorytm rozkład natężenia pola elektrycznego na powierzchniach poszczególnych przewodów. Wyniki obliczeń numerycznych przedstawiono w formie wykresów na rys. 5.2. Ze względu na symetrię układu podano rozkład składowej E_n na przewodach 1, 2 oraz 3.



Rys. 5.1

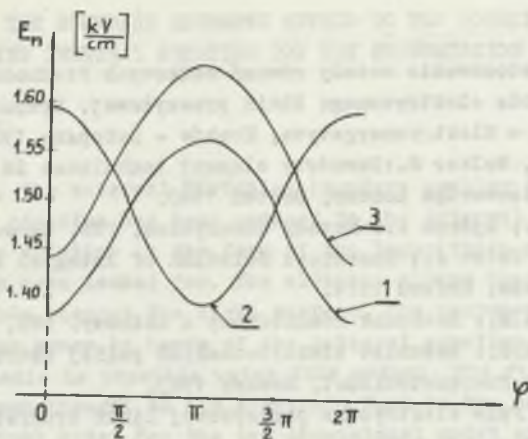
The 3-phase transmission line 400 kV

Linia przesyłowa trójfazowa 400 kV

1, 2, 3, - powierzchnie przewodów, dla których określono rozkład składowej E_n ; V_1, V_2, V_3 - potencjały poszczególnych faz

1, 2, 3 - the conductor surfaces with the distribution of the E_n compound determined; V_1, V_2, V_3 - phase potentials

Obliczenie przeprowadzono dla podziału konturów $C^{(k)}$ ($k=1, \dots, 8$) przewodów na $N_k = 16$ łuków.



Rys. 5.2

Rozkład natężenia składowej E_n na powierzchniach przewodników 1, 2 oraz 3
 The distribution of the field strength component E_n on the surfaces of the conductors 1, 2, 3

6. ZAKOŃCZENIE

Opracowany algorytm umożliwił obliczenie rozkładów natężenia pola na powierzchniach przewodów linii przesyłowych, jak również w dowolnym punkcie zewnętrznym. W zależności od przyjętego sposobu aproksymacji funkcji G na konturach $C^{(k)}$ przewodników otrzymujemy do rozwiązania układ równań algebraicznych o odpowiednim rozmiarze. Macierz otrzymanego układu równań jest macierzą gęstą i o współczynniku uwarunkowania powiększającym się wraz ze wzrostem jej wymiarów. Przeprowadzone przez autorów liczne przykłady numeryczne dla linii 400 kV, jak również 700 kV pokazały, że pomimo zastosowania dyskretyzacji prowadzącej do otrzymania układów równań o wymiarach 150×150 otrzymano błędy nie przekraczające $3 \div 4\%$ w stosunku do wyników pomiarowych.

LITERATURA

- [1] Alexiewicz A.: Analiza funkcjonalna. PWN, Warszawa 1969.
- [2] Baron B.: Pole elektryczne linii przesyłowych trójfazowych najwyższych napięć. Zeszyty Naukowe Politechniki Śląskiej, Elektryka z. 73, 1980.
- [3] Baron B.: Synteza pola elektrycznego linii trójfazowej. Intern. Symp. Theoretische Electr. Sept. 1983, Ilmensu.

- [4] Baron B.: Zastosowanie metody równań całkowych Fredholma I rodzaju do badania pola elektrycznego linii przesyłowej. Sympozjum Metody Matematyczne w Elektroenergetyce, Kraków - Zakopane 1983, 115-125.
- [5] Brebbia C.A., Walker S.: Boundary element techniques in Engineering - Newnes - Butterworths London, Boston 1980.
- [6] Dehlaquist G., Björck A.: Metody numeryczne, PWN, Warszawa 1983.
- [7] Delves L.M., Wolsh J.: Numerical Solution of integral equations. Clarendon Press, Oxford 1974.
- [8] Fichtenholz G.M.: Rachunek różniczkowy i całkowy. PWN, Warszawa 1978.
- [9] Koleczickij E.S.: Raszchet elektricheskikh poliej ustrojstw vysokowo naprjżenijs. Energoatomizdat, Moskwa 1983.
- [10] Konorski B.: Pole elektryczne przesyłowej linii trójfazowej. PWN, Warszawa 1970.
- [11] Krakowski M.: Elektrotechnika teoretyczna. PWN, Warszawa 1967.
- [12] Krejn S.G.: Analiza funkcjonalna. PWN, Warszawa 1967.
- [13] Krzyżński M.: Równania różniczkowe cząstkowe rzędu II. PWN, Warszawa 1959.
- [14] Sastry S.S.: Numerical solution of Fredholm integral equations with a logarithmic singularity. Int. J. Num-Math. Engng., 10 (1976), 1202 - 1207.
- [15] Sikora R.: Teoria pola elektromagnetycznego. WNT, Warszawa 1977.
- [16] Sikora R., Pałka R.: Synthesis of one - end two dimensional electrostatic field. Arch. f. Elektr. 64, 1981, 105 - 108.
- [17] Sikora R.: Wybrane zagadnienia z teorii pola elektromagnetycznego. PAN-O, Poznań, Seria: Elektrotechn. i Elektronika - Tom IX, PWN, Warszawa - Poznań 1984.
- [18] Ulman J.: Komputerowa analiza pola elektrycznego trójfazowych linii przesyłowych najwyższych napięć. Prace doktorskie - Gliwice 1983.
- [19] Zimny P.: Zastosowanie metody równań całkowych i elementów skończonych do obliczenia quasi - stacjonarnego pola elektromagnetycznego w ośrodkach przewodzących. Zeszyty Naukowe Politechniki Gdańskiej Elektryka Nr 50. Gdańsk 1980.

Recenzent: doc. dr hab. inż. Stanisław Krzemiński

Wpłynęło do redakcji dnia 1 marca 1985 r.

APPLICATION OF THE BOUNDARY ELEMENTS METHOD TO THE SOLUTION
OF THE FIRST KIND INTEGRAL EQUATION FOR THE TRANSMISSION LINE

Summary

In the work, the external Dirichlet boundary problem for the two dimensional Laplace equation has been reduced to the integral equation of the first kind. The solution in the form of the logarithmic potential of the singlelayer has been looked for. The electric mirror image method has been used to take into account the earth surface. The computation of the field in the boundless space by means of the integral equation solution on the bounds of the media is possible using this method. The first kind integral equation has been brought to its algebraic form by the use of spline functions of the first order for the two dimensional model of transmission lines with different configurations. The division of the conductor contours into elements has been done. The function for the approximation of the surface charge density has been found for each element. The approximation of the numerical calculation of the charge density distribution on the conductor surface and of the field potential outside the conductor has been found as the sum of the integration results for all elements. The spline functions have been used for the approximation of the charge density on the individual elements of the conductor division to obtain the greater accuracy. The discussion of the correctness of the formulated Dirichlet problem has been carried out. The explicit character of the obtained solution has been proved. The method of the determination of field strength vector and the calculation algorithm of the field strength vector components with the use of the charge density distribution has been given. The outside space and the surface of the conductor has been respected. The algorithm has been used (as an example) for the conductor with the known potential. The result has been compared with that obtained by means of accurate analytical expression. The algorithm has then been used for 400 kV line.

ПРИМЕНЕНИЕ МЕТОДА КРАЕВЫХ ЭЛЕМЕНТОВ К РЕШЕНИЮ ИНТЕГРАЛЬНЫХ УРАВНЕНИЙ
I - го РОДА ПЛОЩАДИ ПЕРЕСЫЛЬНЫХ ЛИНИЙ

Резюме

В работе сведено внешнюю краевую проблему Дирихле для двумерного уравнения Лапласа к интегральному уравнению I-го рода. Найдено решение проблемы в

виде логарифмического потенциала простого слоя. Плоскость Земли учтена через применение метода электрических образов. Применение делает возможным вычислить поле в бесконечном пространстве, решая интегральные уравнения на границе разделения сердцевин.

В работе приведена алгебраизация интегрального уравнения I-го рода с применением склеенных функций I-ой степени для двухмерного образца пересыльных линий с длинными конфигурациями. Произведено разделение контуров проводников на элементы и для каждого из них избрана соответствующая функция приближающая поверхностную плотность зарядов. Интегрируя по каждому элементу и складывая эти результаты получена приближительная операция для определения расположения плотности зарядов на поверхности проводников и потенциала поля в произвольной точке вне проводника используя компьютер. Для получения большей точности вычислений применены склеенные функции аппроксимирующие функции плотности зарядов на элементах контуров проводников.

В работе проведена дискуссия над правильностью сформулированной проблемы Дирихле и доказано, что решение этой проблемы однозначно. Представлен также метод определения вектора напряжения электрического поля. Учтено также как пространство вне так и на поверхности проводников. Определён алгоритм вычисления составляющих вектора напряжения используя определённое ранее распределение поверхностной плотности зарядов. Представлен в работе алгоритм был перетестован на примере проводника с известным потенциалом. Определённое таким образом распределение напряжения поля на поверхности проводника сравнено с аналитической формулой. Разработанный алгоритм был использован к вычислению распределения поля линий 400 кВ.